

Dynamique latérale

Equations du vol latéral

$$\left\{ \begin{array}{l} \dot{\beta} = -r + \frac{\rho V S}{2m} (C y_{\beta} \beta) + \frac{g}{V} \sin \phi \\ \dot{r} = \frac{\rho V^2 S \ell}{2C} \left(C n_{\beta} \beta + C n_p \frac{p \ell}{V} + C n_r \frac{r \ell}{V} + C n_{\delta n} \delta n \right) \\ \dot{p} = \frac{\rho V^2 S \ell}{2A} \left(C l_{\beta} \beta + C l_p \frac{p \ell}{V} + C l_r \frac{r \ell}{V} + C l_{\delta l} \delta l \right) \\ \dot{\phi} = p \end{array} \right.$$

Principe des petites variations

$$\left\{ \begin{array}{l} \delta \dot{\beta} = \delta \left[\frac{\rho V S}{2m} \cdot C y_{\beta} \cdot \beta - r + \frac{g}{V} \cdot \sin \phi \right] \\ \delta \dot{r} = \frac{\rho V^2 S \ell}{2C} \cdot \delta \left[C n_{\beta} \cdot \beta + C n_p \cdot \frac{p \ell}{V} + C n_r \cdot \frac{r \ell}{V} + C n_{\delta n} \cdot \delta n \right] \\ \delta \dot{p} = \frac{\rho V^2 S \ell}{2A} \cdot \delta \left[C l_{\beta} \cdot \beta + C l_p \cdot \frac{p \ell}{V} + C l_r \cdot \frac{r \ell}{V} + C l_{\delta l} \cdot \delta l \right] \\ \delta \dot{\phi} = \delta p \end{array} \right.$$

A partir d'un point d'équilibre, on considère des petites variations $(\delta\beta, \delta r, \delta p, \delta\phi)$ obtenues pour des petites variations des commandes $(\delta l, \delta n)$ en différentiant les équations du vol, par exemple:

$$\delta \dot{\beta} = \delta \left[\frac{\rho V S}{2m} \cdot C y_{\beta} \cdot \beta - r + \frac{g}{V} \cdot \sin \phi \right] = \frac{\rho V S}{2m} \cdot C y_{\beta} \cdot \delta\beta - \delta r + \frac{g}{V} \cdot \delta\phi$$

Linéarisation des équations

$$\begin{cases} \delta \dot{\beta} = \frac{\rho V S C_{y\beta}}{2m} \delta \beta - \delta r + \frac{g}{V} \delta \phi \\ \delta \dot{r} = \frac{\rho V^2 S \ell}{2C} \left(C n_{\beta} \delta \beta + C n_p \frac{p \ell}{V} + C n_r \frac{r \ell}{V} + C n_{\delta n} \delta n \right) \\ \delta \dot{p} = \frac{\rho V^2 S \ell}{2A} \left(C l_{\beta} \delta \beta + C l_p \frac{p \ell}{V} + C l_r \frac{r \ell}{V} + C l_{\delta l} \delta l \right) \\ \delta \dot{\phi} = p \end{cases}$$



$$\delta \beta = \beta - \beta_e = \beta$$

On obtient la matrice d'état A et la matrice de commande B

$$\dot{X} = A X + B U$$

$$\begin{bmatrix} \dot{\beta} \\ \dot{r} \\ \dot{p} \\ \dot{\phi} \end{bmatrix} = \begin{bmatrix} y_{\beta} & -1 & 0 & \frac{g}{V} \\ n_{\beta} & n_r & n_p & 0 \\ l_{\beta} & l_r & l_p & 0 \\ 0 & 0 & 1 & 0 \end{bmatrix} \begin{bmatrix} \beta \\ r \\ p \\ \phi \end{bmatrix} + \begin{bmatrix} 0 & 0 \\ 0 & n_{\delta n} \\ l_{\delta l} & 0 \\ 0 & 0 \end{bmatrix} \begin{bmatrix} \delta l \\ \delta n \end{bmatrix}$$

Exemple : Douglas DC-8

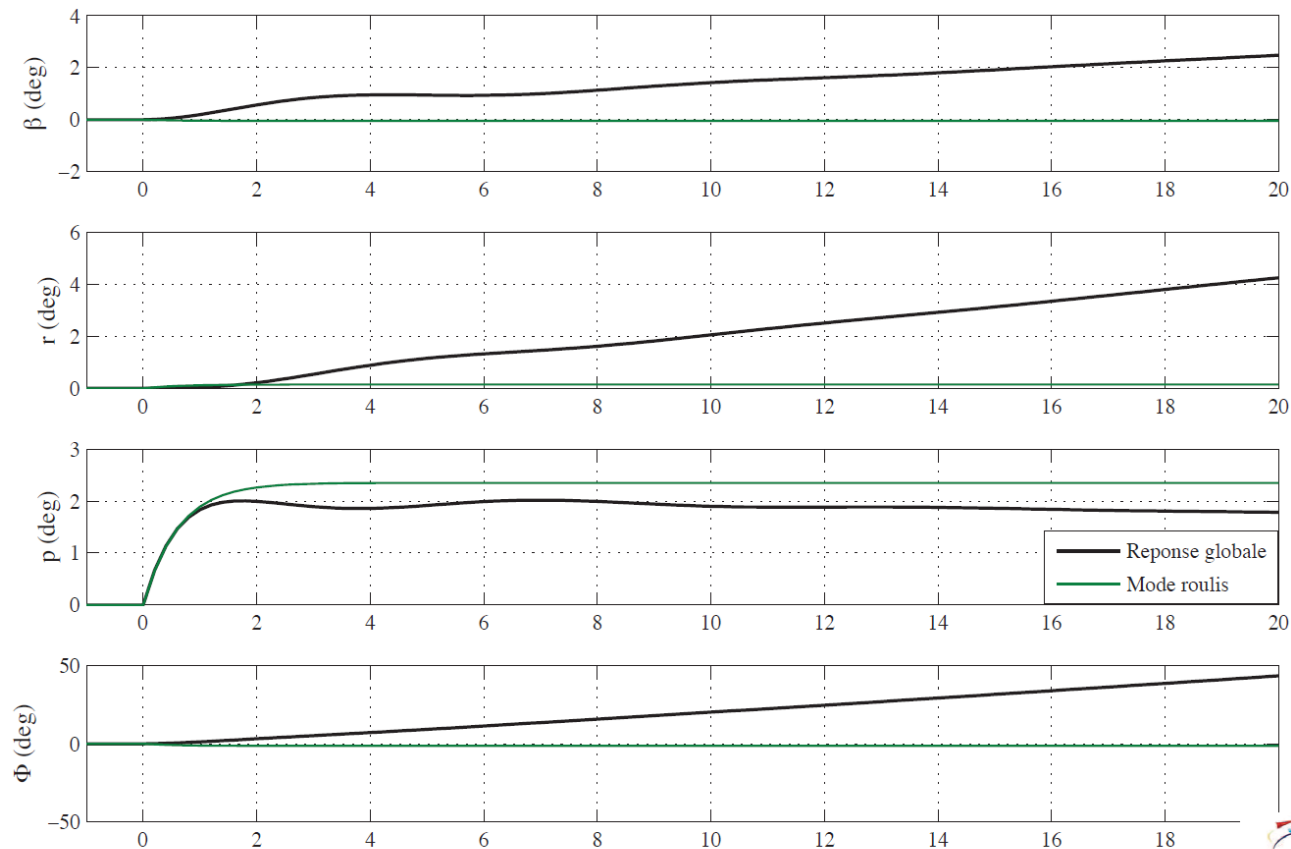
- Conditions de vol : $V = 100 \text{ m/s}$, $h = 1524 \text{ m}$ (5000 ft), $m_s = -0.3$



Avions «**classiques**» : Stabilité de route importante $Cn_\beta \gg 0$

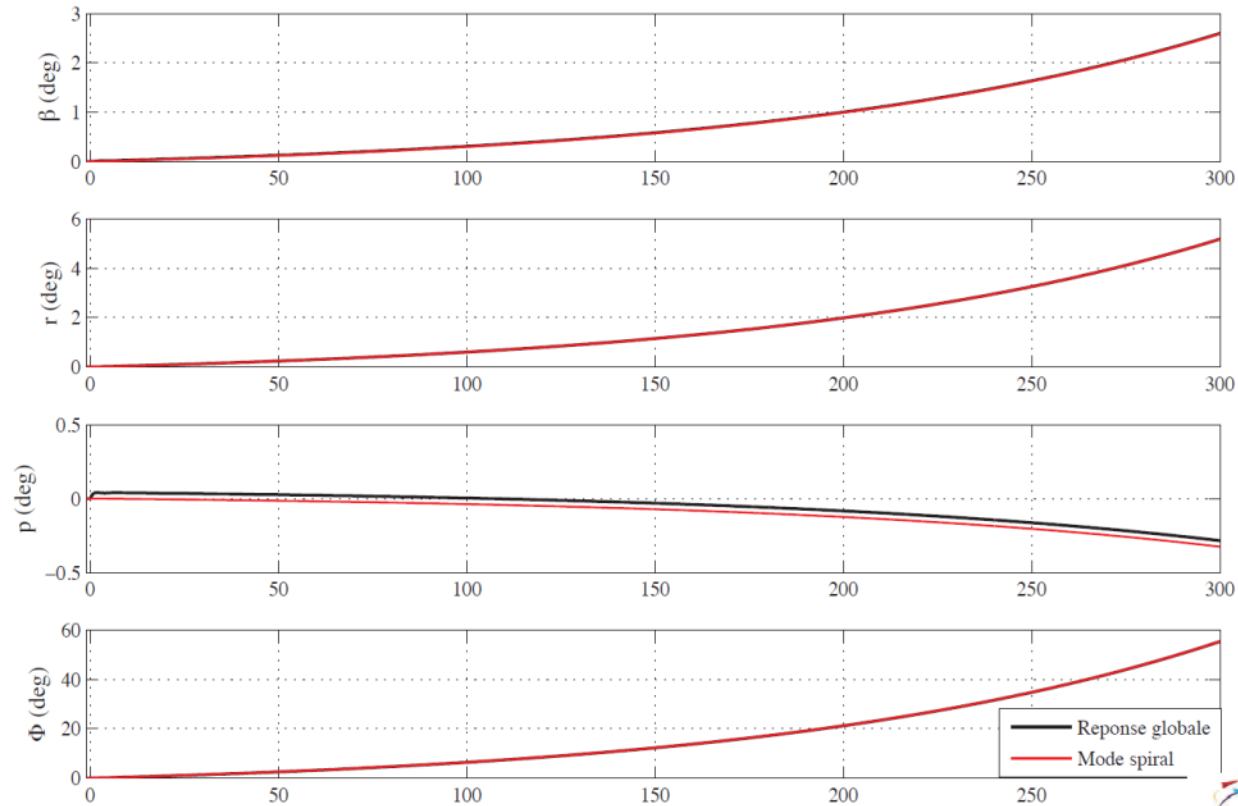
Exemple : Douglas DC-8

Simulation sur 20 sec. : échelon de -5° sur les ailerons



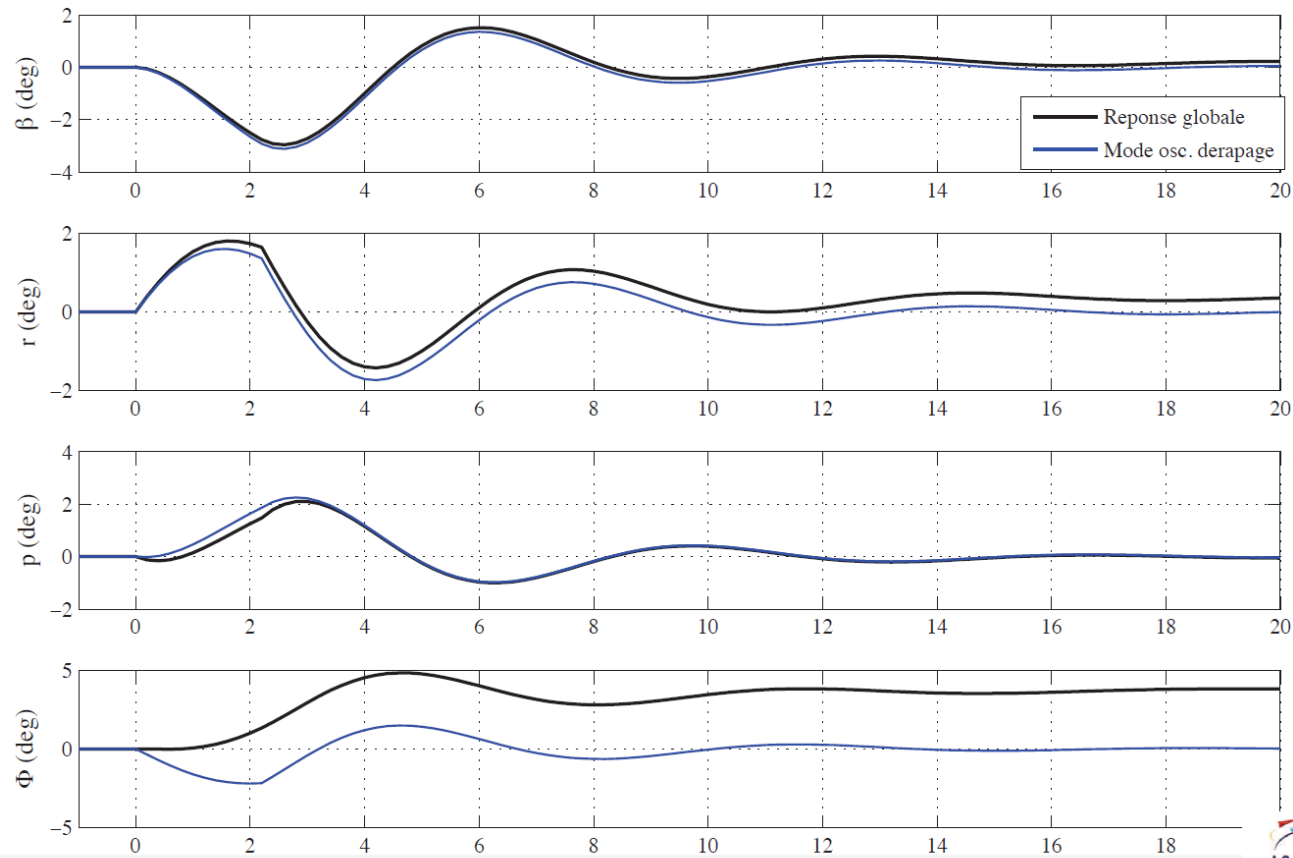
Exemple : Douglas DC-8

Simulation sur 5 min. : échelon de -0.1° sur les ailerons



Exemple : Douglas DC-8

Simulation sur 20 sec. : **Créneau** de 2 sec. et de 5° sur la direction



Modes

Modes	Grandeurs associées	Type	f_n (Hz)	ξ	τ (s)	$T_{osc.}$ (s)
Roulis pur	p	apériodique		1	0.6	
Oscillation dérapage	β, r	oscillant	0.15	0.26	4.2	6.9
Spiral	ϕ	apériodique		-1	-120	

Partition de la matrice A

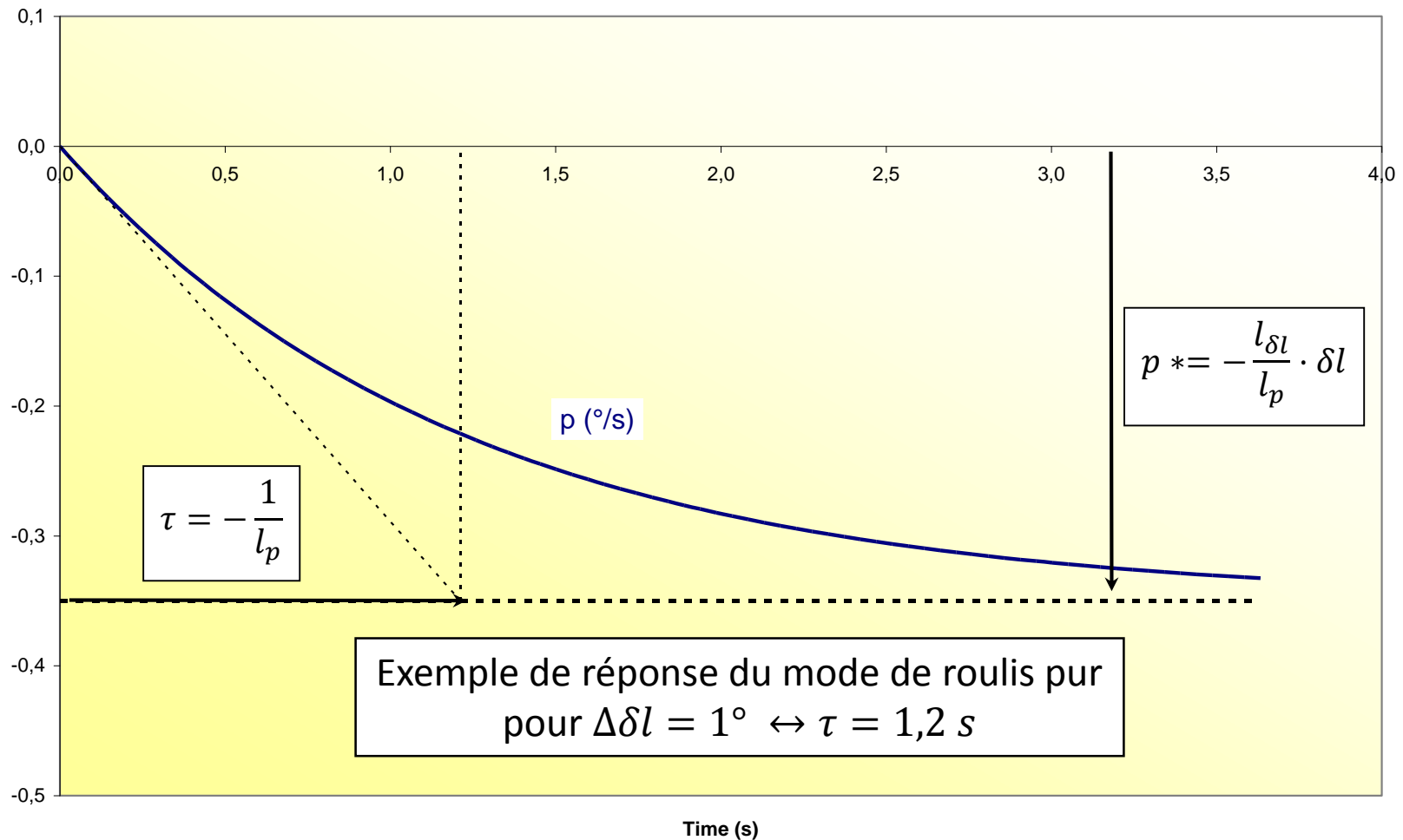
$$\begin{pmatrix} \dot{\beta} \\ \dot{r} \\ \dot{p} \\ \dot{\phi} \end{pmatrix} = \begin{pmatrix} y_{\beta} & -1 & 0 & \frac{g}{v} \\ n_{\beta} & n_r & n_p & 0 \\ l_{\beta} & l_r & l_p & 0 \\ 0 & 0 & 1 & 0 \end{pmatrix} \begin{pmatrix} \beta \\ r \\ p \\ \phi \end{pmatrix} + \begin{pmatrix} 0 & 0 \\ 0 & n_{\delta n} \\ l_{\delta l} & 0 \\ 0 & 0 \end{pmatrix} \begin{pmatrix} \delta l \\ \delta n \end{pmatrix}$$

Mode de roulis pur

$$\dot{p} - l_p \cdot p = l_{\delta l} \cdot \delta l$$

$$\dot{x} + \frac{x}{\tau} = 0 \leftrightarrow s + \frac{1}{\tau} = 0 \leftrightarrow x = x_0 e^{st} = x_0 e^{-t/\tau}$$

- valeur propre réelle
- mode apériodique
- convergent si $s < 0$



Oscillation de dérapage

Concerne les variables β et r

$$\begin{bmatrix} \dot{\beta} \\ \dot{r} \end{bmatrix} = \begin{bmatrix} y_{\beta} & -1 \\ n_{\beta} & n_r \end{bmatrix} \begin{bmatrix} \beta \\ r \end{bmatrix} + \begin{bmatrix} 0 \\ n_{\delta n} \end{bmatrix} \delta n$$

$$\begin{vmatrix} y_{\beta} - s & -1 \\ n_{\beta} & n_r - s \end{vmatrix} = 0$$

$$\rightarrow s^2 + 2\lambda \cdot s + \omega_0^2 = 0$$

$$s/\bar{s} = -\lambda \pm i\sqrt{\omega_0^2 - \lambda^2} = -\lambda \pm i\omega_n$$

$$\lambda = -\frac{y_{\beta} + n_r}{2}$$

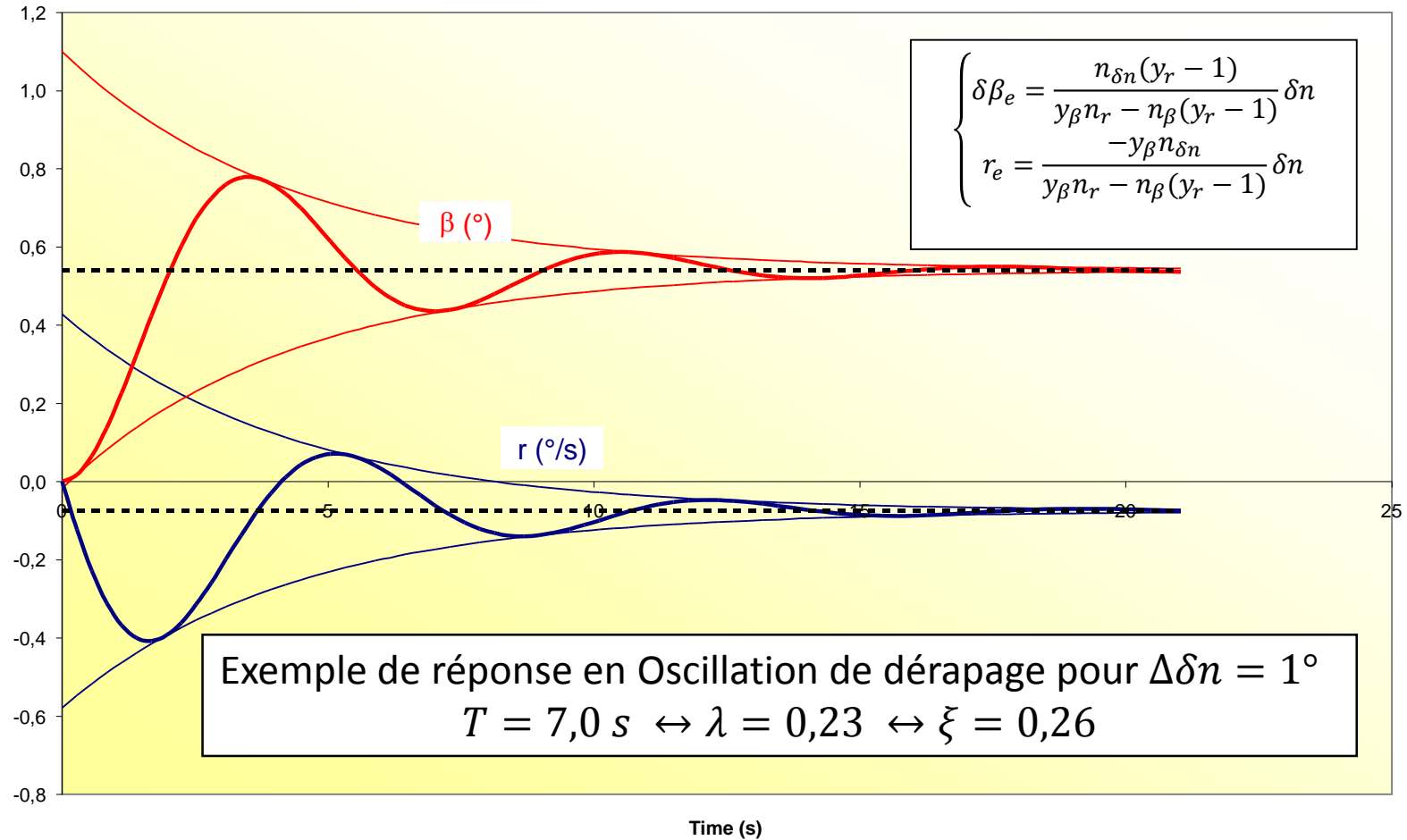
→ amortissement positif

$$\omega_0^2 = n_{\beta} + y_{\beta} n_r$$

→ stabilité latérale

$$\xi = \frac{\lambda}{\omega_n} \approx \frac{\lambda}{\omega_0}$$

Oscillation de dérapage



Analogie Longitudinal / latéral

Il y a une forte analogie entre les deux modes oscillants périodiques des modes longitudinal et latéral

	Oscillation d'incidence	Oscillation de dérapage
Variables	(α, q)	(β, r)
Période	Fonction de Cm_α Rapide Apériodique si CG arrière	Fonction de Cn_β Rapide Toujours périodique / CG
Amortissement	Fonction de Cm_q & Cz_α Fortement amorti	Fonction de Cn_r & Cy_β Faiblement amorti

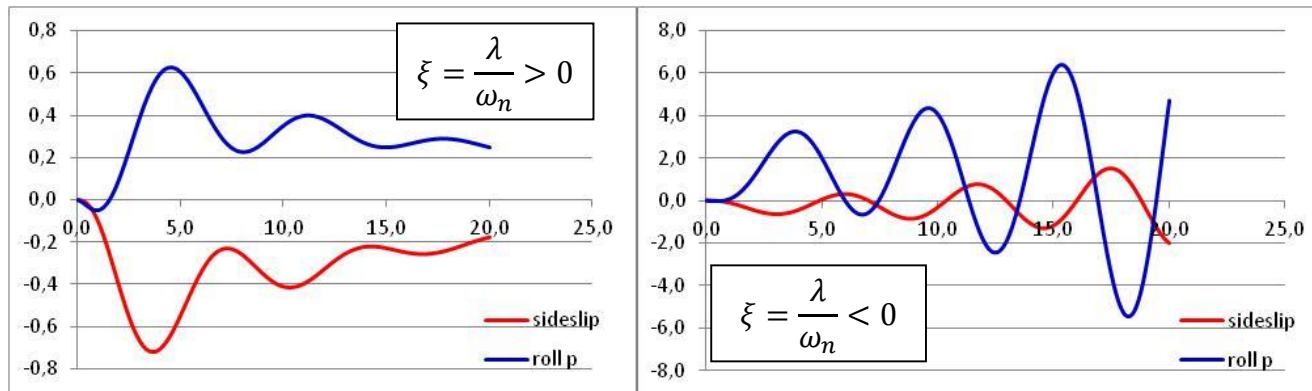
Roulis hollandais (dutch roll)

• En réalité

$$\begin{bmatrix} \dot{\beta} \\ \dot{r} \\ \dot{p} \\ \dot{\phi} \end{bmatrix} = \begin{bmatrix} y_{\beta} & -1 & 0 & \frac{g}{V} \\ n_{\beta} & n_r & n_p & 0 \\ l_{\beta} & l_r & l_p & 0 \\ 0 & 0 & 1 & 0 \end{bmatrix} \begin{bmatrix} \beta \\ r \\ p \\ \phi \end{bmatrix} + \begin{bmatrix} 0 & 0 \\ 0 & n_{\delta n} \\ l_{\delta l} & 0 \\ 0 & 0 \end{bmatrix} \begin{bmatrix} \delta l \\ \delta n \end{bmatrix}$$

roulis p

L'oscillation de dérapage devient plus complexe et l'on parle de **Roulis Hollandais**
C'est un mode périodique (même en centrage arrière CG) mais qui peut devenir divergent



Influence de la dérive (taille et position)

Oscillation de dérapage :

Pulsation propre non amortie $\omega_n (rad/s)$

$$\omega_n \approx \sqrt{n_\beta} = V \sqrt{\frac{\rho \ell S}{2 C}} \sqrt{C n_\beta}$$

Amortissement réduit ξ

$$\xi = - \sqrt{\frac{\rho S C}{8 \ell}} \frac{1}{\sqrt{C n_\beta}} \left(\frac{\ell^2}{C} C n_r + \frac{C y_\beta}{m} \right)$$

Pulsation propre non amortie $\omega_n = 2 \text{ rad/s}$ ($T = 3 \text{ s}$)

L'amortissement réduit $\xi = 0.1$

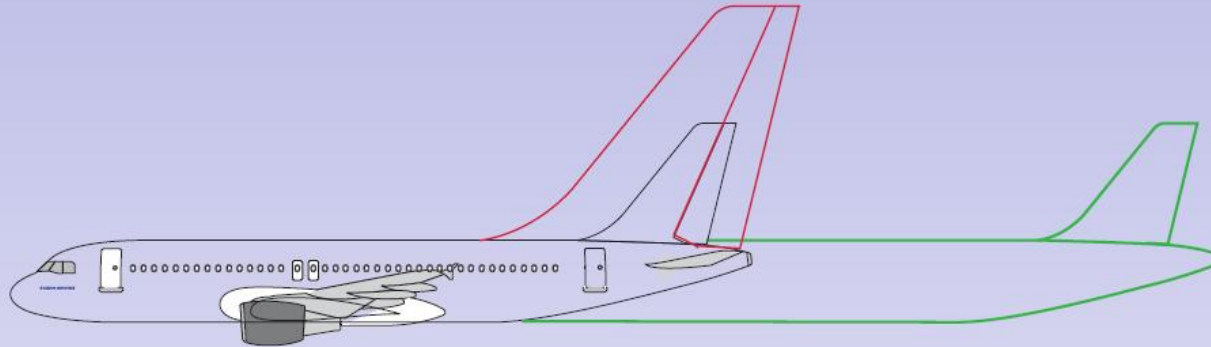
La norme demande :

$$\omega_n > 1 \text{ rad/s} \quad \text{et} \quad \xi > 0.1$$

Risque de pompage piloté

Nécessité d'un "stabilisateur" de lacet $\delta n = k \cdot r$

Influence de la dérive (taille et position)



Pour doubler l'amortissement réduit,
c'est-à-dire passer de $\xi = 0.1$ à $\xi = 0.2$, il faudrait :

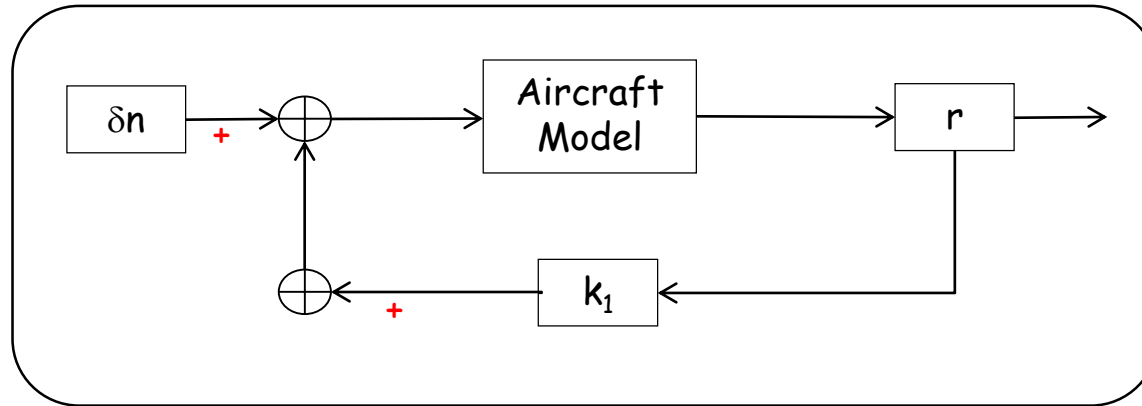
1. soit multiplier la surface dérive par quatre,
2. soit multiplier la distance entre le centre de gravité et la dérive par deux.

*Donc il n'est pas possible d'obtenir de bons résultats sur ξ
avec la géométrie de l'avion*

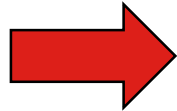
Nécessité d'un "stabilisateur" de lacet

Roulis hollandais

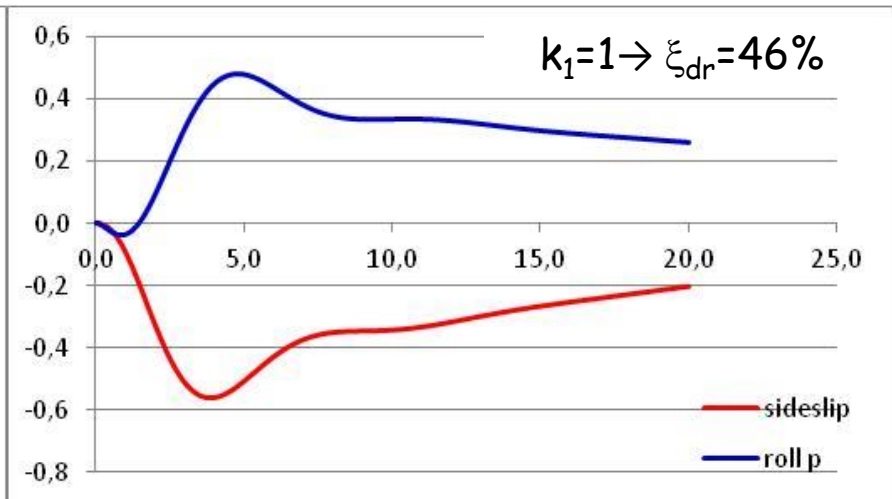
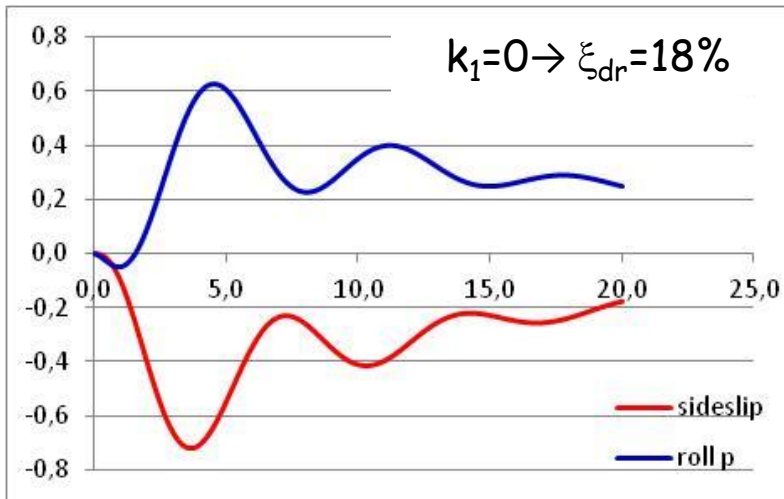
Stabilisateur de lacet : $k_1 > 0$



$$\dot{r} = n_{\beta} \cdot \delta\beta + n_r \cdot r + n_p \cdot p + n_{\delta n} \cdot \delta n$$

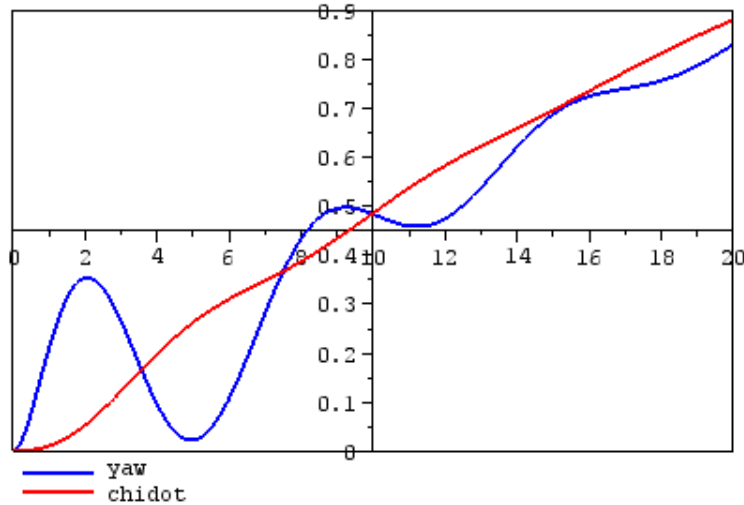


$$\dot{r} = n_{\beta} \cdot \delta\beta + (n_r + k_1 n_{\delta n}) \cdot r + n_p \cdot p + n_{\delta n} \cdot \delta n$$

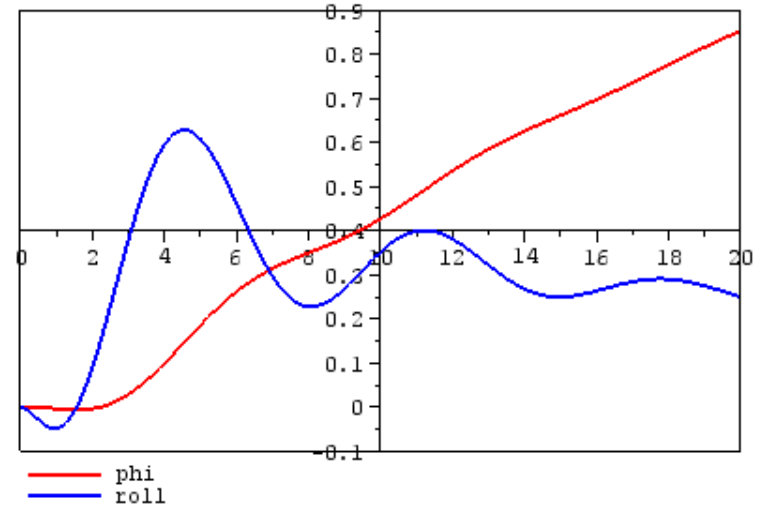


Roulis hollandais par commande en lacet

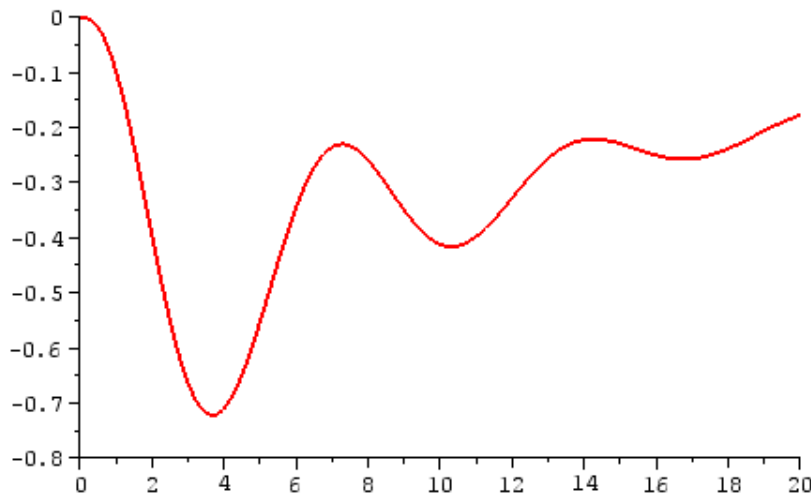
yaw rate and chidot



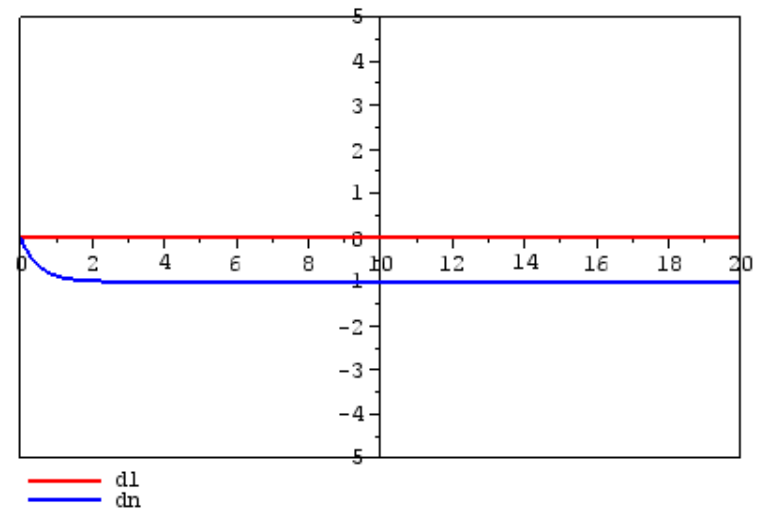
$\phi \cdot g/v$ and roll rate



sideslip angle

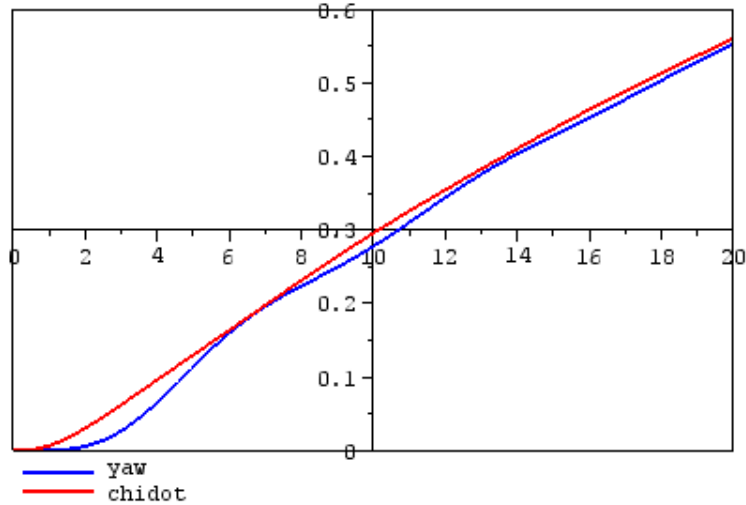


command inputs

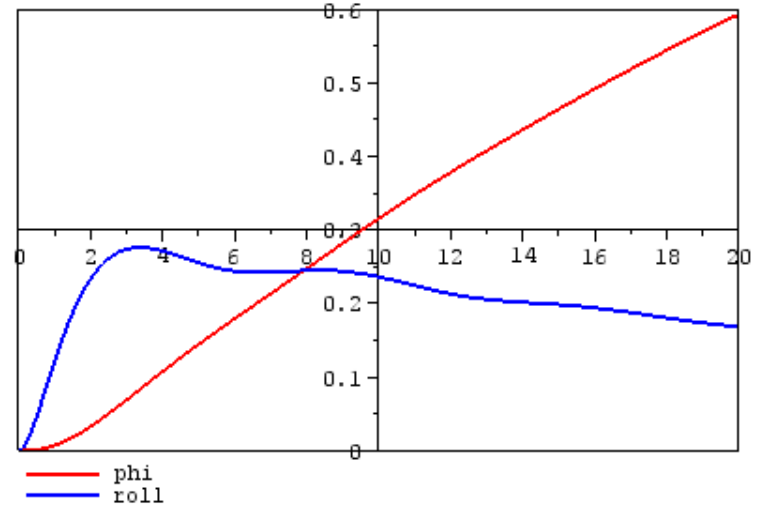


Roulis hollandais par commande en roulis

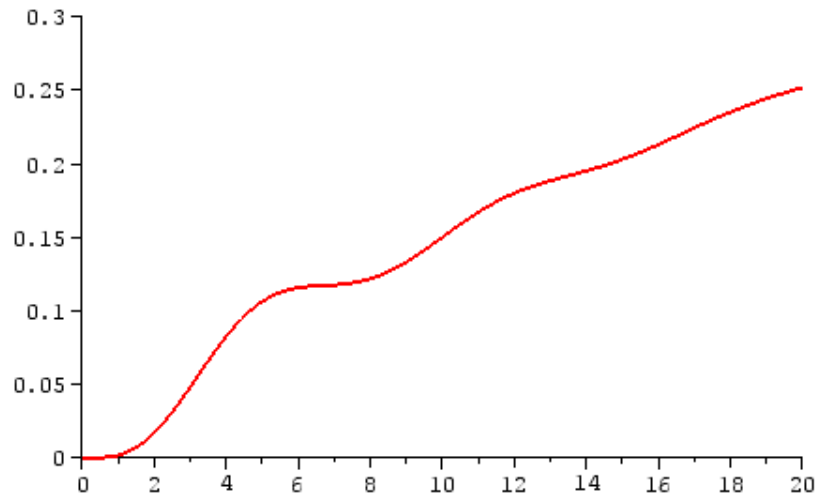
yaw rate and chidot



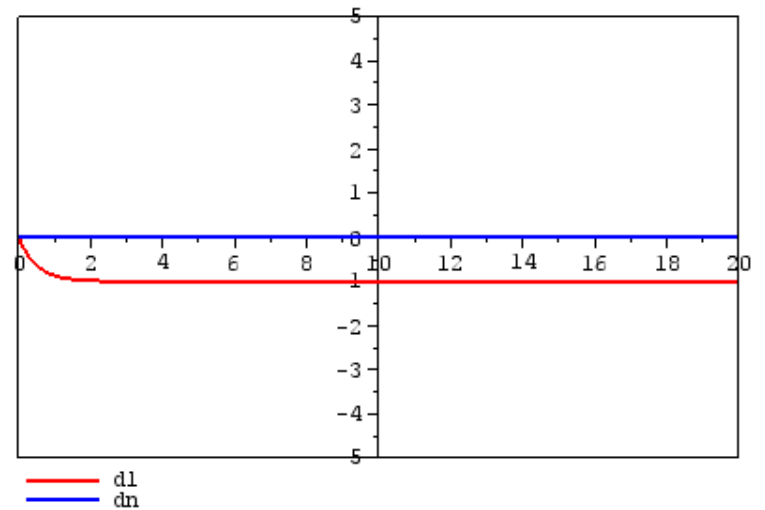
ϕ^*g/v and roll rate



sideslip angle



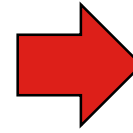
command inputs



Mode spiral : approche usuelle

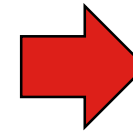
On suppose que β , r et p ont atteint leurs valeurs d'équilibre

$$\begin{bmatrix} 0 \\ 0 \\ 0 \\ \dot{\phi} \end{bmatrix} = \begin{bmatrix} y_\beta & -1 & 0 & \frac{g}{V} \\ n_\beta & n_r & n_p & 0 \\ l_\beta & l_r & l_p & 0 \\ 0 & 0 & 1 & 0 \end{bmatrix} \begin{bmatrix} \beta^* \\ r^* \\ p^* \\ \phi \end{bmatrix} + \begin{bmatrix} 0 & 0 \\ 0 & n_{\delta n} \\ l_{\delta l} & 0 \\ 0 & 0 \end{bmatrix} \begin{bmatrix} \Delta\delta l \\ \Delta\delta n \end{bmatrix}$$



$$\begin{vmatrix} y_\beta & -1 & 0 & \frac{g}{V} \\ n_\beta & n_r & n_p & 0 \\ l_\beta & l_r & l_p & 0 \\ 0 & 0 & 1 & -s \end{vmatrix} = 0$$

$$\frac{g}{V} \begin{vmatrix} n_\beta & n_r \\ l_\beta & l_r \end{vmatrix} + \left\{ -n_p \begin{vmatrix} y_\beta & -1 \\ l_\beta & l_r \end{vmatrix} + l_p \begin{vmatrix} y_\beta & -1 \\ n_\beta & n_r \end{vmatrix} \right\} \cdot s = 0$$

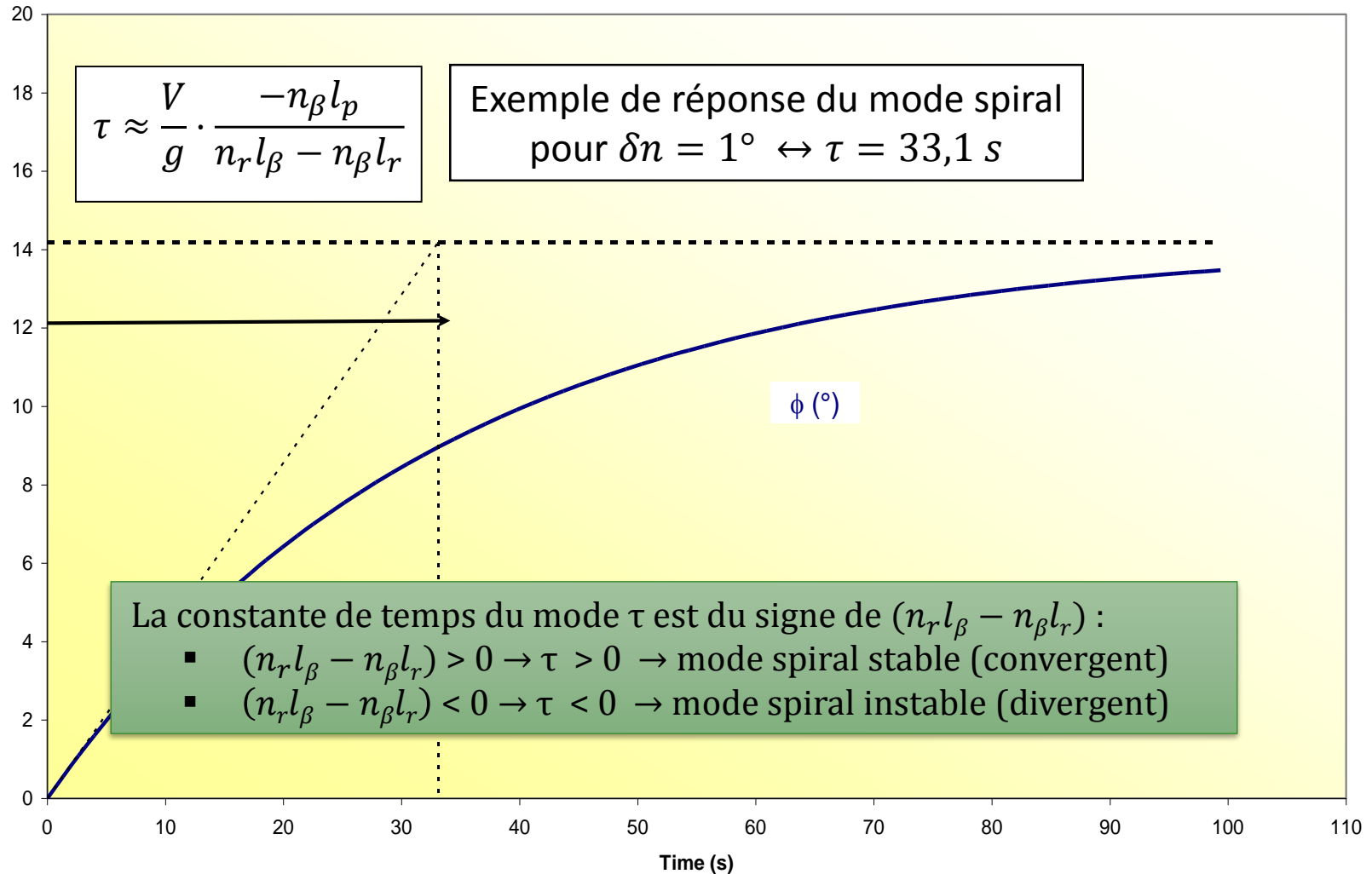


$$s = \frac{g}{V} \frac{\begin{vmatrix} n_\beta & n_r \\ l_\beta & l_r \end{vmatrix}}{n_p \begin{vmatrix} y_\beta & -1 \\ l_\beta & l_r \end{vmatrix} - l_p \begin{vmatrix} y_\beta & -1 \\ n_\beta & n_r \end{vmatrix}}$$

$$\dot{\phi} + \frac{\phi}{\tau} = 0 \leftrightarrow s + \frac{1}{\tau} = 0 \leftrightarrow \phi = \phi_0 e^{st} = \phi_0 e^{-t/\tau}$$

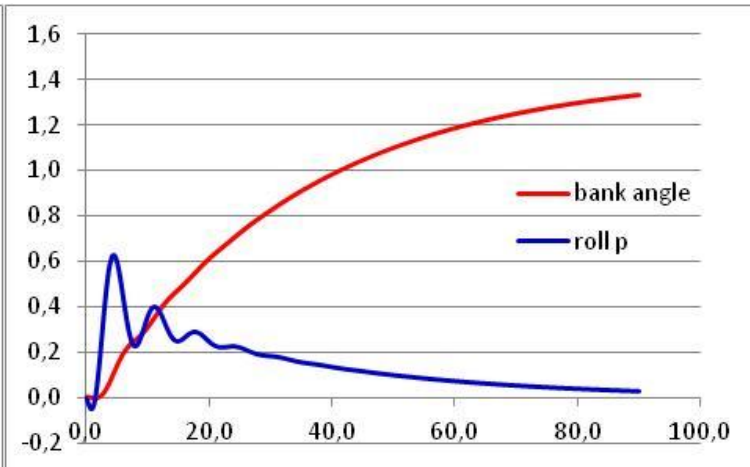
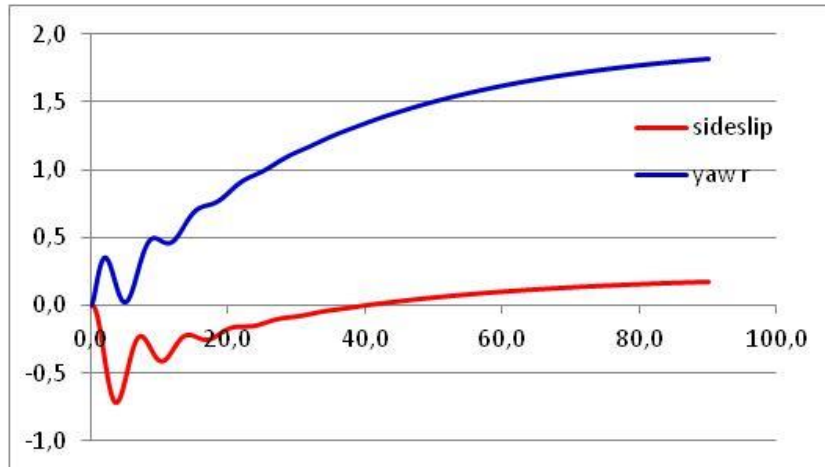
$$\tau = \frac{V}{g} \frac{l_p(n_\beta + y_\beta n_r) - n_p(l_\beta + y_\beta l_r)}{n_\beta l_r - n_r l_\beta} \approx \frac{V}{g} \frac{-n_\beta l_p}{n_r l_\beta - n_\beta l_r}$$

Mode spiral



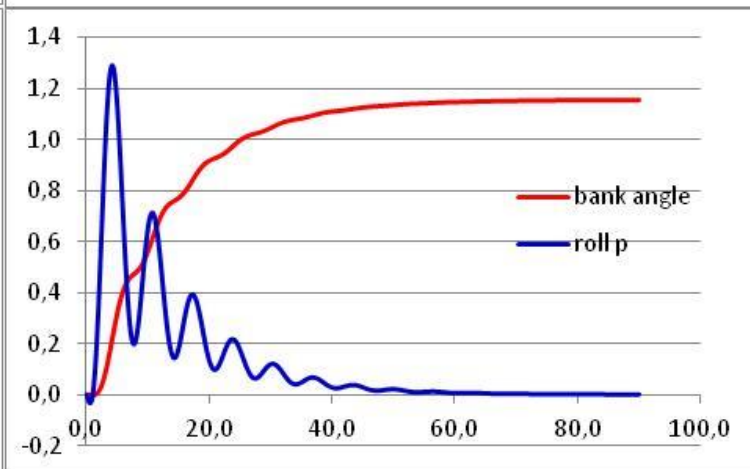
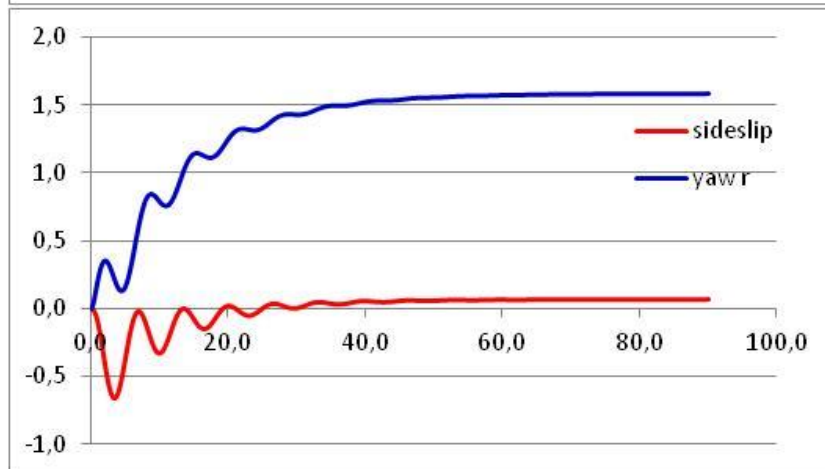
Mode spiral / influence de I_β

Le mode spiral est un mode apériodique lent
Il peut être légèrement divergent en fonction du signe I_β



I_β

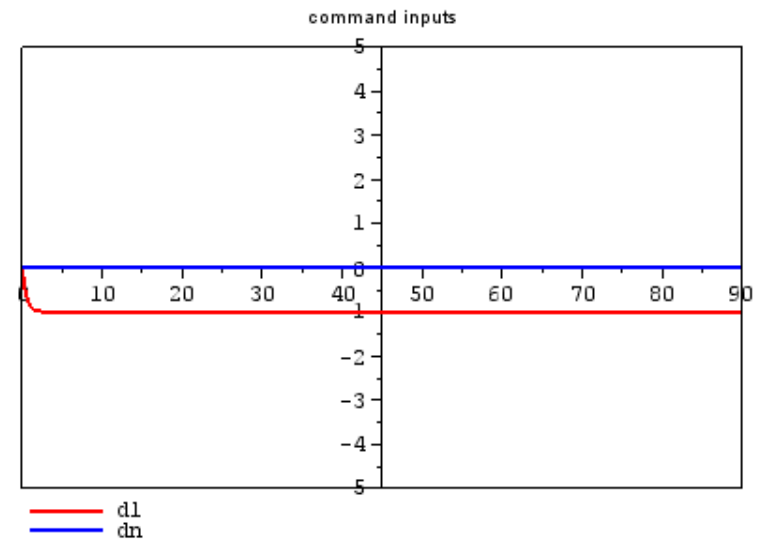
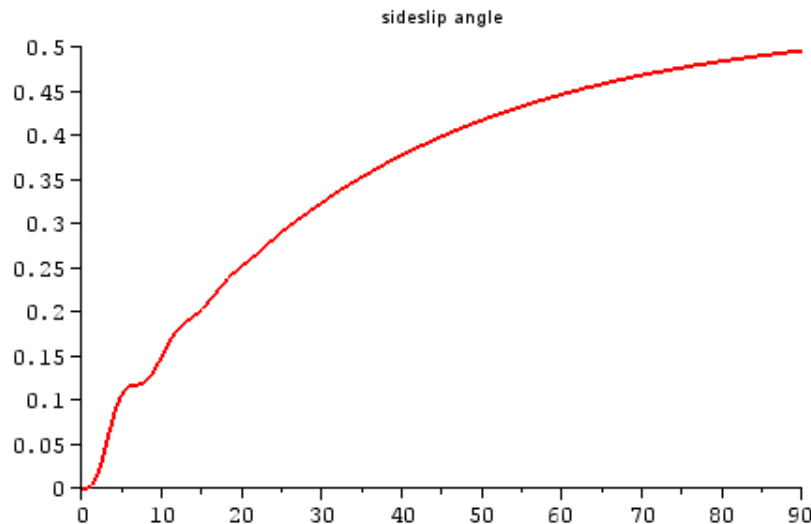
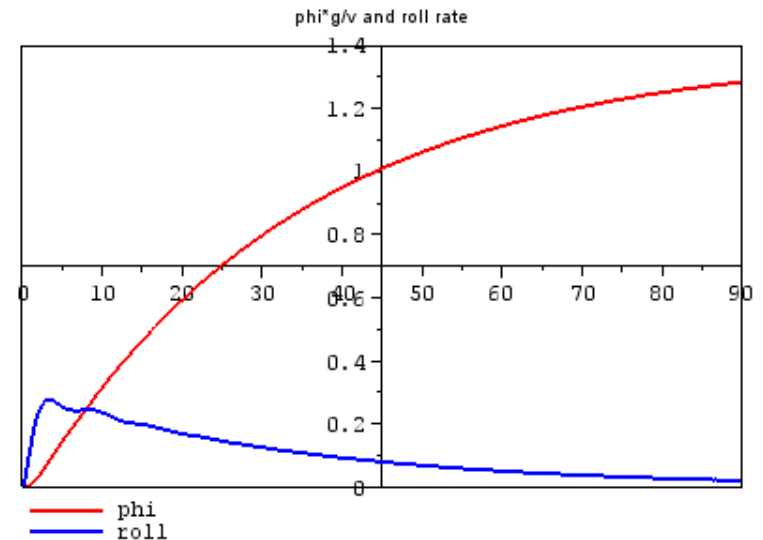
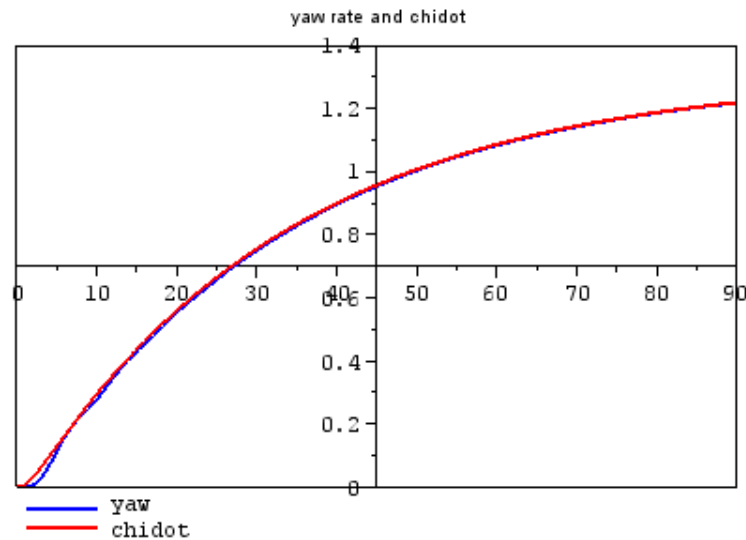
$\xi_{dr}=18\%$
 $T_{sp}=33 \text{ s}$



2. I_β

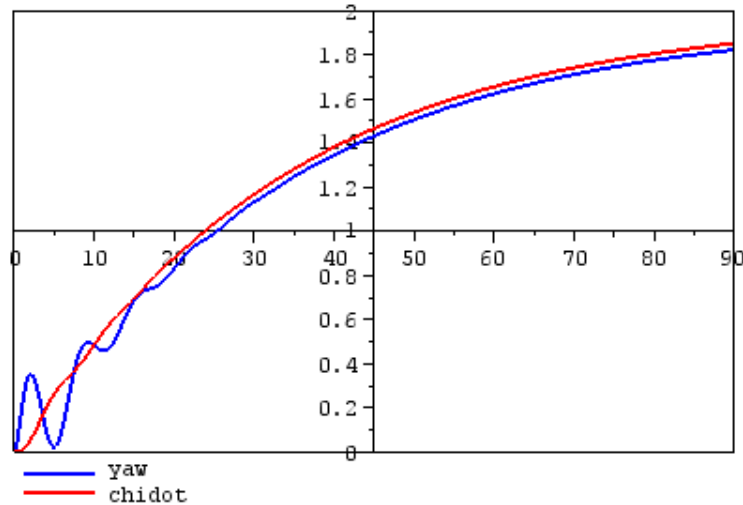
$\xi_{dr}=11\%$
 $T_{sp}=12 \text{ s}$

Mode spiral / commande en roulis (δl)

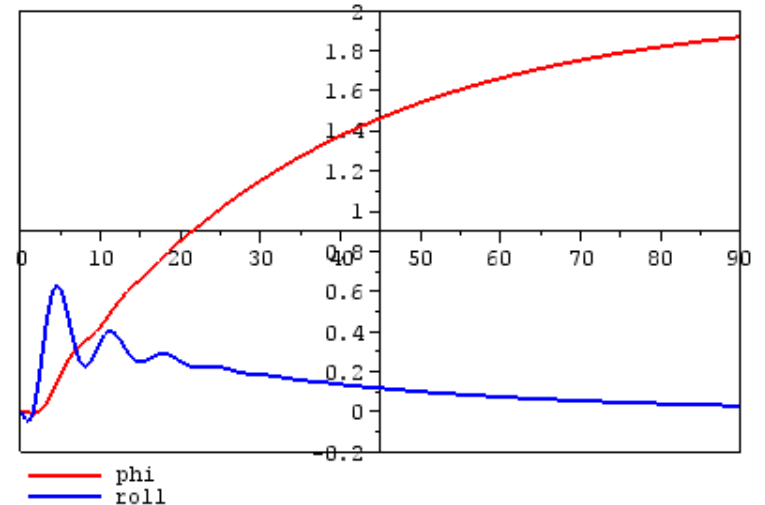


Mode spiral / commande en lacet (δn)

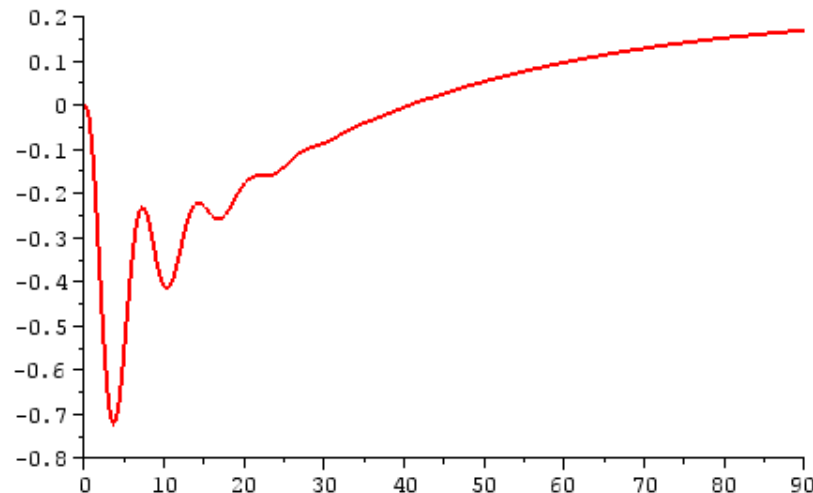
yaw rate and chidot



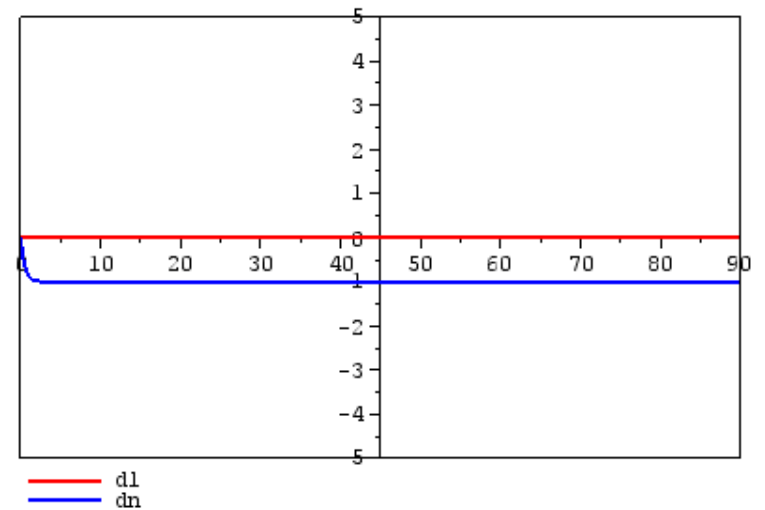
$\phi \dot{g}/v$ and roll rate



sideslip angle



command inputs





Réglage du mode spiral

La norme n'impose pas la stabilité spirale
c'est le seul mode avion qui est autorisé à être instable

Le temps pour doubler l'amplitude de l'inclinaison ϕ à partir de 20° ,
doit être supérieur à 12 secondes.

Le dièdre pour un Airbus est de l'ordre de 5°